

5. Буевич Ю. А., Марков В. Г. Континуальная механика монодисперсных суспензий. Реологические уравнения состояния для суспензий измеренной концентрации.— ПММ, 1973, № 6.
6. Буевич Ю. А., Корнеева Ю. А. О переносе тепла и массы в дисперсной среде.— ПМТФ, 1974, № 4.
7. Ламб Г. Гидродинамика. М., 1947.
8. Милн-Томсон. Теоретическая гидродинамика. М., 1964.
9. Воинов О. В. Движение двух сфер переменных радиусов в идеальной жидкости.— В сб.: Научная конференция. М., изд. Ин-та механ. МГУ, 1970.
10. Гарипов Р. М. Замкнутые уравнения движения жидкости с пузырьками.— ПМТФ, 1973, № 6.
11. Головин А. М., Чижов В. Е. К расчету бинарной коррелятивной функции в двухфазной системе.— ПММ, 1977, № 6.

УДК 532.526

## О НЕИЗОТЕРМИЧЕСКОЙ ПОЛУОГРАНИЧЕННОЙ ПЛОСКОЙ СТРУЕ НЕСЖИМАЕМОЙ ВЯЗКОЙ ЖИДКОСТИ

*A. A. Бобнев, С. М. Хайтман*

*(Новосибирск)*

В [1] было получено автомодельное решение для температуры в плоской полуограниченной струе. Для нахождения температурной константы автомодельности  $\alpha_T = 1/2$  использовалось интегральное условие сохранения

$$\int_0^\infty u T \left( \int_0^y u dy \right) dy = \text{const},$$

которое вообще не выполняется (этот интеграл не зависит от продольной координаты только в предположении о подобии профилей скорости и температуры при числе Прандтля, равном единице). В данной работе построены автомодельные решения при разных числах Прандтля, установлена зависимость константы автомодельности от числа Прандтля.

Задачу о плоской ламинарной полуограниченной струе, движущейся вдоль твердой стенки, в приближении пограничного слоя можно записать в безразмерном виде

$$(1) \quad u \frac{\partial u}{\partial x} + v \frac{\partial u}{\partial y} = \frac{\partial^2 u}{\partial y^2}, \quad \frac{\partial u}{\partial x} + \frac{\partial v}{\partial y} = 0;$$

$$(2) \quad u \frac{\partial T}{\partial x} + v \frac{\partial T}{\partial y} = \frac{1}{Pr} \frac{\partial^2 T}{\partial y^2};$$

$$(3) \quad u = v = 0 \text{ при } y = 0, \quad u = 0 \text{ при } y \rightarrow \infty;$$

$$(4) \quad T = 0 \text{ при } y = 0, \quad T = 0 \text{ при } y \rightarrow \infty,$$

где  $x, yR^{-3/4}$  — декартовы прямоугольные координаты ( $x, y$  — внутренние координаты в соответствующем пределу пограничного слоя асимптотическом разложении по малому параметру  $R^{-1}$ );  $R = (L_m I_m / \rho_m)^{1/3} / \mu_m$  — некоторый аналог числа Рейнольдса;  $uR^{1/2}, vR^{-1/4}$  — продольная и поперечная составляющие скорости;  $T$  — разность температур в данной точке и на бесконечности;  $Pr = c_{pm} \mu_m / \lambda_m$  — число Прандтля. При обезразмеривании считались заданными масштабы удельной теплоемкости при постоянном давлении  $c_{pm}$ , динамической вязкости  $\mu_m$ , теплопровод-

ности  $\lambda_m$ , длины  $L_m$ , плотности  $\rho_m$ , температуры  $T_m$ , инварианта Аката-нова

$$I_m = \rho_m V_m^3 L_m^2 \int_0^\infty u^2 \left( \int_0^y u dy \right) dy.$$

В качестве масштаба скорости выбрали

$$V_m = (I_m / \rho_m L_m^2)^{1/3}.$$

Для задач (1) — (4) следовало бы поставить начальные условия при  $x = x_0$ , однако в рамках данной работы будут рассматриваться только автомодельные решения. Для замыкания динамической задачи (1), (3) сформулируем условие сохранения Аката-нова

$$(5) \quad \int_0^\infty u^2 \left( \int_0^y u dy \right) dy = 1.$$

Что же касается тепловой задачи, то из ее вида следует, что решения (2), (4) определяются с точностью до постоянного множителя, величину которого пока задавать не будем.

Задача (1) — (5) допускает автомодельное решение

$$(6) \quad u(x, y) = x^{-1/2} F'(\eta), \quad v(x, y) = x^{-3/4} V(\eta), \quad T(x, y) = x^{\alpha_T} \Theta(\eta), \quad y = \eta x^{3/4},$$

здесь и в дальнейшем штрих означает производную по  $\eta$ ;  $F$ ,  $V$ ,  $\Theta$ ,  $\eta$  — автомодельные переменные. Подставив (6) в (1) — (5), получим для динамической задачи

$$(7) \quad 4F''' + F''F + 2F'^2 = 0, \quad F = F' = 0 \text{ при } \eta = 0, \quad F' = 0 \text{ при } \eta \rightarrow \infty;$$

$$(8) \quad \int_0^\infty FF'^2 d\eta = 1,$$

а для тепловой

$$(9) \quad \Theta'' + \Pr \left( \frac{1}{4} F\Theta' - \alpha_T F'\Theta \right) = 0, \quad \Theta = 0 \text{ при } \eta = 0, \quad \Theta = 0 \text{ при } \eta \rightarrow \infty,$$

причем для нахождения поперечной скорости можно использовать формулу

$$V = (1/4)(3\eta F' - F).$$

Линейное однородное уравнение с однородными граничными условиями (9) представляет сингулярную краевую задачу о собственных значениях, роль собственного значения при этом выполняет параметр  $\alpha_T$ . Задача (9) имеет, по-видимому, счетное множество решений. Из этого множества из физических соображений выбиралось знакоположительное решение. Численные расчеты показали, что оно единственno.

Задачи (7), (9) инвариантны к преобразованию

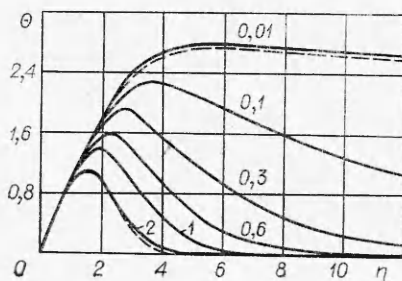
$$(10) \quad F \rightarrow C_1 F, \quad \Theta \rightarrow C_2 \Theta, \quad \eta \rightarrow C_1^{-1} \eta,$$

т. е. вместо инварианта Аката-нова (8) можно использовать для задачи (7) условие нетривиальности в форме

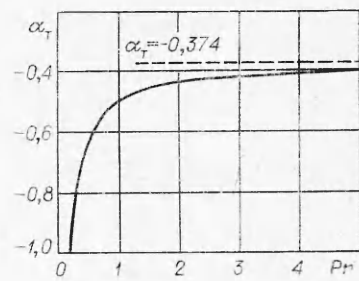
$$(11) \quad F'' = 1 \text{ при } \eta = 0,$$

а при нормировке решения для температуры выбрать условие

$$(12) \quad \Theta' = 1 \text{ при } \eta = 0.$$



Фиг. 1



Фиг. 2

Таким образом, с помощью (10) краевую задачу (7), (8) привели к задаче Коши (7), (11). Решив задачи (7), (11), (9), (12), можно затем, воспользовавшись инвариантными свойствами (10), пронормировать решения согласно (8) или же каким-либо другим образом. Задача (7), (11), (9), (12) была решена численно при разных значениях числа Прандтля. На фиг. 1 представлено семейство кривых  $\Theta$  как функции  $\eta$ , числа у кривых соответствуют числу Прандтля. Профиль  $F'(\eta)$ , характеризующий продольную скорость (6), совпадает с профилем безразмерной температуры при  $Pr = 1$ . Максимум профиля температуры при  $Pr \rightarrow 0$  смещается в сторону увеличения координаты  $\eta$  (т. е. удалается от стенки при фиксированной координате  $x$ ). Температура с ростом  $\eta$  (или  $y$  при фиксированном  $x$ ) убывает медленнее при малых числах Прандтля по сравнению с немалыми. При  $Pr \gg 1$  температурный профиль становится значительно «уже» динамического ( $Pr = 1$ ), и, наоборот, при  $Pr \rightarrow 0$  «толщина» температурного профиля устремляется к бесконечности. Отметим, что инвариант Акатнова для задачи (7), (11) оказался равным

$$\int_0^\infty u^2 \left( \int_0^y u dy \right) dy = 7,49.$$

Значение этой постоянной будет необходимо, если возникнет необходимость пронормировать решение согласно (8).

На фиг. 2 изображена зависимость температурной константы автомодельности  $\alpha_T$  (собственного значения задачи (9)) от числа Прандтля. Видно, что  $\alpha_T \rightarrow \text{const}$  при  $Pr \rightarrow \infty$  и  $\alpha_T \rightarrow -\infty$  при  $Pr \rightarrow 0$ . Из формул (6) следует, что при  $Pr \rightarrow 0$  ( $\alpha_T \rightarrow -\infty$ ) разность температур в струе и на бесконечности быстро затухает (эквивалент «большой» теплопроводности), а при  $Pr \rightarrow \infty$  максимальная температура в струе затухает независимо от числа Прандтля, так как при этом  $\alpha_T \rightarrow \text{const}$ .

Поясним предельное поведение решений задачи (7), (11), (9), (12) в случаях сколь угодно больших и сколь угодно малых значений числа Прандтля. При исследовании будут использованы идеи и терминология методов возмущений [2].

Пусть

$$(13) \quad \varepsilon = 1/Pr \rightarrow 0.$$

Тогда асимптотическое разложение, связанное с внутренним предельным процессом, когда

(14)  $\xi = \eta/\delta(\varepsilon)$  фиксировано,  $\delta(\varepsilon) \rightarrow 0$  при  $\varepsilon \rightarrow 0$ , можно построить в виде

(15)  $\Theta(\varepsilon, \eta) = v_0(\varepsilon)\Theta_0(\xi) + \dots, \quad \alpha_T(\varepsilon) = \alpha_0 + \dots, \quad F(\eta) = F_0 \delta^2 \xi^2 + \dots,$

где выписаны лишь нулевые (главные) члены разложений;  $\delta(\varepsilon)$  — величина, характеризующая масштаб внутренней переменной  $\xi$ ;

$v_0(\epsilon)$  — нулевой член асимптотической последовательности для  $\Theta(\epsilon, \eta)$ . Из вида задачи (9), (12), (7), (11) следует

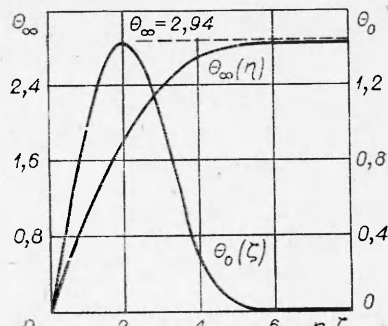
$$(16) \quad F_0 = 1/2, \quad v_0 = \delta = \epsilon^{1/2}.$$

Подставив ряды (15) в задачу (9), (12), получим на пределе (13), (14)

$$(17) \quad \frac{d^2\Theta_0}{d\xi^2} = -\frac{1}{8}\xi^2 \frac{d\Theta_0}{d\xi} + \alpha_0 \xi \Theta_0, \quad \Theta_0 = 0,$$

$$\Theta_0' = 1 \quad \text{при } \xi = 0,$$

$$\Theta_0 = 0 \quad \text{при } \xi \rightarrow \infty.$$



Фиг. 3

На фиг. 3 показано решение задачи о собственных значениях (17), полученное численным образом. Из расчетов следует, что собственное значение  $\alpha_0 = -0,374$ . Заметим, что возникшая в нулевом приближении по  $\epsilon$  задача (17) удовлетворяет всем граничным условиям (в нуле и на бесконечности), т. е. в данном случае нет необходимости строить внешнее разложение и производить сращивание, и разложение решений задачи (7), (11), (9), (12) в виде (15) является равномерно пригодным по  $\eta$ .

На фиг. 1 штриховыми линиями показаны приближенные решения, соответствующие нулевому приближению разложения (15). Видно, что уже при  $Pr = 2$  совпадение точного и приближенного решения удовлетворительно, т. е. даже при умеренно больших числах Прандтля можно исключить явным образом критерий подобия  $Pr$  и пользоваться для описания неизотермичного течения задачей (17), куда число Прандтля ( $\epsilon$ ) не входит.

Рассмотрим теперь случай  $Pr \ll 1$ . Пусть

$$(18) \quad \epsilon = Pr \rightarrow 0.$$

Для решений задачи (7), (11), (9), (12) рассмотрим сначала внешний предел, когда

$$(19) \quad \xi = \eta/\Delta(\epsilon) \text{ фиксировано, } \Delta \rightarrow \infty \text{ при } \epsilon \rightarrow 0,$$

где  $\Delta(\epsilon)$  — величина, характеризующая масштаб внешней переменной  $\xi$ . Динамическая задача (7), (11) имеет аналитическое решение [1], которое при  $\eta \rightarrow \infty$  экспоненциально стремится к постоянной

$$(20) \quad F = F_\infty + TST(\eta), \quad F' = TST'(\eta) \text{ при } \eta \rightarrow \infty \quad (F_\infty = 4,16),$$

т. е. в уравнении (9) на внешнем пределе член, содержащий  $F'$ , пропадает. Оставшиеся члены уравнения (9) будут иметь одинаковый порядок, если на внешнем пределе (19) положить

$$(21) \quad \Delta(\epsilon) = \epsilon^{-1}.$$

Тогда разложения, связанные с пределом (18), (19), (21), можно построить в виде

$$(22) \quad \Theta(\eta, \epsilon) = \tilde{v}_\infty(\epsilon) \tilde{\Theta}_\infty(\xi) + \dots, \quad F(\eta) = F_\infty + \dots$$

Подставив разложения (22) и имея в виду (18) — (21), получим в пулевом приближении по  $\epsilon$  задачу

$$(23) \quad \frac{d^2\tilde{\Theta}_\infty}{d\xi^2} = -\frac{1}{4} F_\infty \frac{d\tilde{\Theta}_\infty}{d\xi}, \quad \tilde{\Theta}_\infty = 0 \quad \text{при } \xi \rightarrow \infty.$$

Решением задачи (23) является

$$(24) \quad \tilde{\Theta}_{\infty} = \tilde{C}_{\infty} \exp \left( -\frac{1}{4} F_{\infty} \xi \right).$$

Величины  $\tilde{v}_{\infty}(\varepsilon)$  в (22) и  $\tilde{C}_{\infty}$  в (24) могут быть определены в дальнейшем из условия сращивания внешнего разложения с внутренним.

Для того чтобы построить разложение, пригодное вблизи границы  $\eta = 0$ , сформулируем внутренний предельный процесс, когда (25)  $\eta$  фиксировано при  $\varepsilon \rightarrow 0$ , а разложение решений задачи (9), (12) на пределе (18), (25) — в виде

$$(26) \quad \Theta(\varepsilon, \eta) = \Theta_{\infty}(\eta) + \dots, \quad \alpha_T(\varepsilon) = \alpha_{\infty} \varepsilon^{-1} + \dots$$

Тогда, подставив (26) в задачу (9), (12) и имея в виду определения (18), (25), получим в нулевом приближении по  $\varepsilon$  задачу

$$(27) \quad \Theta''_{\infty} = \alpha_{\infty} F' \Theta_{\infty}, \quad \Theta_{\infty} = 0, \quad \Theta'_{\infty} = 1 \quad \text{при } \eta = 0.$$

Отметим, что при формулировании внутреннего предельного процесса (18), (25) и построении асимптотического разложения (26) руководствовались тем, чтобы: 1) в задачу нулевого приближения вошло собственное значение  $\alpha_{\infty}$ ; 2) предел (18), (25) был «характерным» (пределом пограничного слоя [2]).

Задача (27) при  $\eta \rightarrow \infty$  (см. формулы (20)) имеет очевидное асимптотическое решение

$$(28) \quad \Theta_{\infty} = C_{\infty} + C_3 \eta + \text{TST}(\eta).$$

Из вида решения на внешнем пределе (24) следует, что в формуле (28) следует положить  $C_3 = 0$ . Таким образом, для задачи на внутреннем пределе (27) можно поставить условие

$$(29) \quad \Theta'_{\infty} = 0 \quad \text{при } \eta \rightarrow \infty.$$

Задача (27), (29) является задачей о собственных значениях. На фиг. 3 изображены рассчитанная численно функция  $\Theta_{\infty}$  от  $\eta$ . При  $\eta \rightarrow \infty$  величина  $\Theta_{\infty} = 2,94$ . Собственное значение из расчета оказывается равным  $\alpha_{\infty} = -0,125$ . Сращивая внутреннее и внешнее разложения на пределе, промежуточном между внутренним и внешним, можно получить для внешнего разложения

$$\tilde{v}_{\infty}(\varepsilon) = 1, \quad \tilde{C}_{\infty} = C_{\infty} = 2,94.$$

Складывая внешнее и внутреннее разложения и вычитая общую часть, получим равномерно пригодное по  $\eta$  приближение

$$(30) \quad \Theta(\varepsilon, \eta) = \Theta_{\infty}(\eta) + C_{\infty} \left[ \exp \left( -\frac{1}{4} F_{\infty} \varepsilon \eta \right) - 1 \right].$$

На фиг. 1 показано штриховыми линиями приближенное решение при  $\text{Pr} = 0,01$ . Очевидно удовлетворительное совпадение с точным решением. Таким образом, и при малых числах Прандтля можно исключить критерий подобия  $\text{Pr}$  и для описания температурного профиля будет справедлива формула (30).

При численном интегрировании использовался метод Рунге — Кутта. Собственные значения подбирались из условия равенства нулю температуры на бесконечности (или ее производной для задачи (27), (29)) методом деления отрезка пополам.

## ЛИТЕРАТУРА

1. Вулис Л. А., Кацкаров В. П. Теория струй вязкой жидкости. М., Наука, 1965.
2. Коул Дж. Методы возмущений в прикладной математике. М., Мир, 1972.

УДК 532.556.2 : 532.135

## ТЕЧЕНИЕ НЕНЬЮТОНОВСКОЙ ЖИДКОСТИ В КАНАЛЕ С КАВЕРНОЙ БОЛЬШОЙ ДЛИНЫ

Г. И. Бурдэ, Е. П. Ильясов, Ю. И. Терентьев,  
Г. З. Файнбург  
(Перевод)

Задача о течении жидкости в канале с каверной представляет интерес для многочисленных приложений. Различным вариантам этой задачи для случая ньютоновской жидкости посвящено значительное число работ (см. обзор [1]). Однако в литературе практически отсутствуют работы, рассматривающие аналогичные течения неньютоновских жидкостей [2, 3].

Между тем задача о течении вязкопластической жидкости в зазоре с углублением представляет интерес для практики нефтяного бурения, поскольку моделирует в известной степени процесс цементирования скважин с кавернами в стенках.

1. В качестве модели неньютоновской жидкости была выбрана квазипластическая жидкость Уильямсона [4], в которой эффективная вязкость  $\eta$  задается выражением  $\eta = \eta_\infty + \tau_0/(b + I)$ , где  $\eta_\infty$  — динамическая ньютоновская вязкость при бесконечно больших скоростях сдвига;  $\tau_0$  — некоторый аналог предельного напряжения сдвига жидкости Бингама;  $b$  — параметр модели Уильямсона;  $I$  — корень квадратный из второго инварианта тензора скоростей деформации. При  $b = 0$  модель описывает вязкопластическую жидкость Бингама; случаю ньютоновской жидкости соответствует  $\tau_0 = 0$ .

Безразмерные уравнения, определяющие плоское стационарное течение, запишем через функцию тока  $\psi$  и завихренность  $\Omega$ :

$$\operatorname{Re} \left( \frac{\partial \psi}{\partial x} \frac{\partial \Omega}{\partial y} - \frac{\partial \psi}{\partial y} \frac{\partial \Omega}{\partial x} \right) + \Delta(v\Omega) - \Omega \Delta v = 4 \frac{\partial^2 v}{\partial x \partial y} \frac{\partial^2 \psi}{\partial x \partial y} + \left( \frac{\partial^2 v}{\partial x^2} - \frac{\partial^2 v}{\partial y^2} \right) \left( \frac{\partial^2 \psi}{\partial x^2} - \frac{\partial^2 \psi}{\partial y^2} \right),$$

$$(1.1) \quad \Delta \psi = -\Omega,$$

$$v = 1 + T \left\{ B + \operatorname{Re} \left[ 4 \left( \frac{\partial^2 \psi}{\partial x \partial y} \right)^2 + \left( \frac{\partial^2 \psi}{\partial x^2} - \frac{\partial^2 \psi}{\partial y^2} \right)^2 \right]^{1/2} \right\}.$$

В качестве единиц измерения длины и скорости выбраны полуширина канала  $d$  и средняя скорость  $U$ , определяемая по расходу;  $v = \eta/\eta_\infty$  — безразмерная эффективная вязкость. Уравнения (1.1) содержат три критерия подобия:  $\operatorname{Re} = Upd/\eta_\infty$  — число Рейнольдса,  $T = \tau_0 \operatorname{od}^2/\eta_\infty^2$  — аналог числа Хедстрема для жидкости Бингама,  $B = b \operatorname{od}^2/\eta_\infty$  — безразмерный параметр модели Уильямсона.

Форму расчетной области можно видеть на фиг. 1,2. В качестве граничных условий во входном и выходном сечениях, расположенных на достаточном удалении от каверны, используется точное решение уравнений (1.1), соответствующее плоскопараллельному течению [5]. Остальные границы считаются твердыми, условия для  $\psi$  и  $\Omega$  на них ставятся обычным образом.